

東都大学工学部 正員 畠 昭治郎 同 正員 谷本 朝伯  
同 正員 西原 崇 同 学生員 玉置 淳

1. はじめに 弾性波試験体、その簡便さにより現場調査法として頻繁に利用されており、弾性波速度値をインデックスとした取扱いが多く、直接的には力学特性とは関連していない。そこで不連續性材料の弾性波伝播特性と力学特性の両者の間の基本的関係（特に弾性波伝播速度と動的弾性係数の関係）を明らかにし、不連續性材料の力学特性を示す因子として弾性波伝播特性がどの程度の可能性を持つかを検討することを目的として本研究が着手された。そのため、失く不連續面を人為的に作成した石膏供試体に対して超音波試験と一軸圧縮試験を実施した。

## 2. 超音波試験および一軸圧縮試験

1) 供試体 実験に用いた供試体は以下のように2種類に分類です。

a) LW (Layered-Width) シリーズ (供試体寸法 5 cm × 5 cm × 10 cm の直方体)

図-1 に示すように互層の様相を呈する供試体で、層の方向は全て水平で幅が変化し、層の幅は 0 cm から 10 cm まで 1 cm おきに 11 段階に変化させた。

b) LD (Layered-Direction) シリーズ (LW シリーズと同じ)

図-2 に示すように LW と同じく互層の様相を呈する供試体で、層の幅を一定として層の方向が変化する。層の方向は層の幅 2 cm, 3 cm, 2 cm のシリーズに対して  $\theta = 90^\circ, 75^\circ, 60^\circ, 45^\circ, 15^\circ$  おきに 5 段階に変化させた。但し図-2 中の斜線部分は石膏と粘土の混合物、白い部分は石膏で各々構成されている。石膏供試体の水・石膏比は 2 : 3、石膏と粘土の斜線部分の重量比は 2 (石膏) : 1 (粘土) でした。その結果、石膏供試体の弾性波速度・弾性係数の値は各々  $2.2 \text{ km/sec}$ ,  $103.18 \times 10^9 \text{ kN/m}^2$ 、石膏と粘土の混合物の供試体では  $1.43 \text{ km/sec}$ ,  $17.40 \times 10^9 \text{ kN/m}^2$  であった。

2) 実験装置と方法

a) 超音波試験装置 図-1, 2 中の発振点 O と受振点 M でエンド子を通じて波動を発生させ、受振点 M でエンド子によって波動を受けてオシロスコープで波動を観測するにより弾性波速度を観測した。

b) 一軸圧縮試験 得られた応力 - ひずみ関係より弾性係数を測定した。

## 3. 理論的考察

1) 層方向が水平な場合 図-1 に示す LW シリーズの供試体が圧縮を受け、その全長 L が A だけ変位し、斜線部分の長さ L' が A だけ変位したとする。各々の部分の弾性波速度、弾性係数の値を  $V_{p1}, V_{p0}, E_1, E_0$  とする。材料全体の弾性波速度、弾性係数の値を  $E, V_p$  とする。A が A' だけ変位する。

$$E \frac{\Delta l}{l} = E_1 \frac{\Delta l_1}{l_1} = E_0 \frac{\Delta l - \Delta l_1}{l - l_1} \quad \therefore E = \frac{E_1 E_0}{E_1 (1 - \frac{\Delta l_1}{l}) + E_0 \frac{\Delta l_1}{l}} \quad (1)$$

また図-1 中に OM を示した弾性波伝播経路を考えると

$$\therefore V_p = \frac{V_{p1} V_{p0}}{V_{p1} (1 - \frac{\Delta l_1}{l}) + V_{p0} \frac{\Delta l_1}{l}} \quad (2)$$

式(1), (2)式より  $l/l_1$  を消去すると次式が得られる。

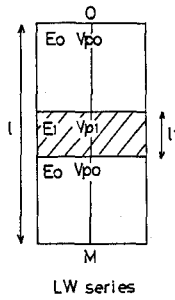


図-1 LW シリーズ

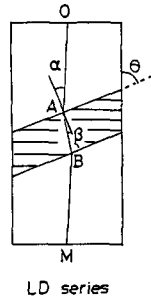


図-2 LD シリーズ

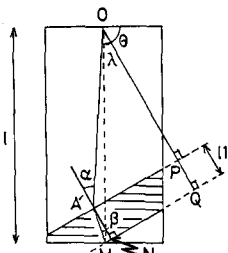


図-3 伝播経路

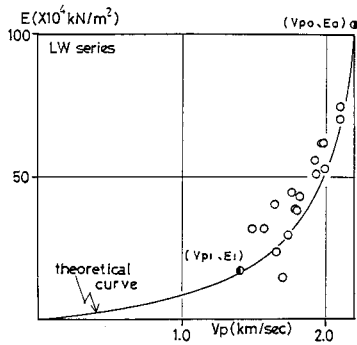


図-4 LWの試験結果

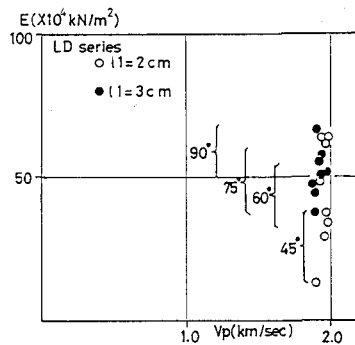


図-5 LDの試験結果

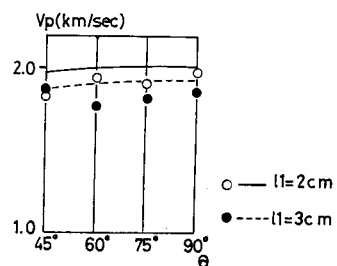


図-6 層の方向の影響

$$E = \frac{E_1 E_0}{E_1 + \frac{V_{p1} V_{p0} - V_p V_{p1}}{V_p (V_{p0} - V_{p1})} (E_0 - E_1)} \quad \dots \quad 3)$$

よって層方向が水平である場合、各層の弾性波速度・弾性係数および貝カーブの弾性波速度を測定することにより、2)式によつて層の幅が、3)式によつて材料全体の弾性係数が推定できることにある。

2)層方向が水平でない場合 図-2に示したLDシリーズの供試体中を弾性波がOABMの様に層析して伝播するものとする。この時、図中の斜線部分の両側での伝播経路は平行となる。図-3の様に中央部分の幅を変えておけば、その位置を平行移動させても震源点0から3Mまでの走時(T)は変化しない。

図-3で  $OA' = x$ ,  $AM' = y$ , また  $V_{p0}, V_{p1}$  を図-1と同じく定義すると

$$\sin \beta / \sin \alpha = V_{p1} / V_{p0} \quad \dots \quad 4)$$

また幾何的関係より

$$x \sin \alpha + y \sin \beta = l \sin \lambda \quad \dots \quad 5)$$

$$x \cos \alpha = l \cos \lambda - l_1 \quad \dots \quad 6)$$

$$y \cos \beta = l_1 \quad \dots \quad 7) \quad (\text{但し } \lambda = 90^\circ - \theta)$$

今、 $V_{p0}, V_{p1}, l, l_1, \lambda$  が既知であるとすると、式4), 5), 6), 7)より  $d, \beta, x, y$  が求まる。 $x, y$  がわかれば次式で走時T、または貝カーブの弾性波速度  $V_p$  を計算する事ができる。

$$V_p = l / T \quad \dots \quad 8) \quad \therefore T = x / V_{p0} + y / V_{p1}$$

#### 4. 実験結果

1) LWシリーズに対する実験結果 図-4はLWシリーズに対する実験結果を示す。白丸が実験結果を、実線が式3)を使用した  $V_p$  によるEの推定値を示してあるが、との精度はかなり良いと言える。

2) LDシリーズに対する実験結果 図-5はLDシリーズに対する実験結果を示す。図-5は  $V_p$  と  $E$  の関係、図-6は層方向  $\theta$  と  $V_p$  の関係を示している。図-5よりEは層方向の影響を受けて大きく変動していくのに対し、 $V_p$  は殆ど変化していない事がわかる。それは図-6を見ても明らかである。但し図中の曲線は式3)による理論曲線である。

#### 5. 終わりに

土木工事において弾性波探査は対象岩盤の力学的特性を知る調査法としてだけではなく、岩盤内の様々な弱面や不連続面の位置・性状・幅・方向等を明らかにする方法としても期待されている。本研究では、弾性波伝播特性日々の幅を知る手がかりには成り得るが、方向を知るための指標としては困難であると考えられる。